

УДК 661.183.4-911.48

В.А. Воронов<sup>1</sup>, Ю.Е. Лебедева<sup>1</sup>, О.Ю. Сорокин<sup>1</sup>, М.Л. Ваганова<sup>1</sup>

**ИССЛЕДОВАНИЕ ЗАЩИТНОГО ДЕЙСТВИЯ ПОКРЫТИЯ  
НА ОСНОВЕ ИТТРИЙАЛЮМОСИЛИКАТНОЙ СИСТЕМЫ  
НА КАРБИДОКРЕМНИЕВОМ МАТЕРИАЛЕ В УСЛОВИЯХ  
ВОЗДЕЙСТВИЯ ОКИСЛИТЕЛЬНОЙ АТМОСФЕРЫ**

DOI: 10.18577/2071-9140-2018-0-4-63-73

*Рассмотрена возможность получения высокотемпературного защитного покрытия на основе прекурсоров иттрийсиликатной ( $Y_2O_3-SiO_2$ ) и иттрийалюмосиликатной ( $Y_2O_3-Al_2O_3-SiO_2$ ) систем на керамическом композиционном материале на основе карбида кремния с применением шликерно-обжигового метода и атмосферно-плазменного напыления. Установлены закономерности влияния методов получения прекурсоров иттрийсиликатной и иттрийалюмосиликатной систем на их физико-химические и теплофизические свойства. Проведены исследования по установлению влияния воздействия окислительной атмосферы на стойкость защитного покрытия при температуре до 1500°C включительно.*

**Ключевые слова:** керамический композиционный материал, карбидокремниевый композиционный материал, силикаты редкоземельных металлов, моносиликат иттрия, дисиликат иттрия, защитное покрытие, антиокислительное покрытие.

V.A. Voronov<sup>1</sup>, Yu.E. Lebedeva<sup>1</sup>, O.Yu. Sorokin<sup>1</sup>, M.L. Vaganova<sup>1</sup>

**INVESTIGATION OF THE HIGH-TEMPERATURE COATINGS  
PROPERTIES ON THE BASIS OF AN YTTRIUM-ALUMOSILICATE  
SYSTEM FOR THE PROTECTION OF SiC MATERIALS FROM THE  
ACTION OF AN OXIDIZING ENVIRONMENT**

*The possibility of obtaining a high-temperature environmental barrier coating based on the yttrium silicate ( $Y_2O_3-SiO_2$ ) and yttrium-aluminosilicate ( $Y_2O_3-Al_2O_3-SiO_2$ ) system on a silicon carbide ceramic composite material due to slurry and air plasma spray methods. The regularities of the influence of yttrium silicate and yttrium-aluminosilicate systems precursors obtaining methods on its physicochemical and thermal properties are established. Studies have been carried out to determine the effect of an oxidizing atmosphere on the durability of a protective coating at temperatures up to 1500°C inclusive.*

**Keywords:** CMC, SiC composites, rare-earth silicates, yttrium monosilicate, yttrium disilicate, protective coating, environmental barrier coating.

<sup>1</sup>Федеральное государственное унитарное предприятие «Всероссийский научно-исследовательский институт авиационных материалов» Государственный научный центр Российской Федерации [Federal State Unitary Enterprise «All-Russian Scientific Research Institute of Aviation Materials» State Research Center of the Russian Federation]; e-mail: admin@viam.ru

### Введение

Повышение значений технических параметров наиболее теплонагруженных узлов и деталей авиационной и ракетно-космической техники осуществляется благодаря внедрению материалов нового поколения, отвечающих в наибольшей степени комплексу требований, предъявляемых к конструкциям современной и перспективной техники [1–3].

Усилия отечественных и зарубежных исследователей по повышению эффективности авиационных газотурбинных двигателей сконцентрированы на повышении рабочей температуры в камере горения и турбине высокого давления, а следовательно, на разработке новых материалов, удовлетворяющих таким условиям эксплуатации. Для данных областей применения наиболее подходя-

щими являются керамические композиционные материалы (ККМ) на основе карбида кремния (SiC) [2–4].

Наиболее крупные производители авиационной техники планируют постепенно внедрять ККМ на основе SiC в теплонагруженных компонентах газотурбинного двигателя, таких как сегменты камеры горения, надроторные вставки, лопатки ТНД и ТВД. При этом одним из основных препятствий для их внедрения является отсутствие стойкости ККМ в условиях горения топлива [3]. Водяной пар и продукт разложения топлива взаимодействуют с защитным слоем диоксида кремния, присутствующего на ККМ, образуя газообразные продукты, такие как  $Si(OH)_4$ . Более того, в условиях высокого давления и

высокой скорости сгорания газа эта реакция приводит к быстрой деструкции ККМ на основе SiC, поэтому применение такого ККМ в условиях окислительной среды ограничено температурой 1300°C [3–5].

С целью повышения эксплуатационного ресурса ККМ на основе SiC в условиях воздействия продуктов разложения топлива целесообразно применение защитных покрытий, которые должны выполнять следующие функции:

- увеличивать долговечность и надежность эксплуатации ККМ и деталей на их основе, стойкость к длительному окислению и циклическому термическому удару, снижать воздействие химических процессов окисления данных композитов;
- обеспечивать стабильность механических свойств SiC-подложки в условиях воздействия градиента температур;
- снижать уровень воздействия процессов эрозии, вибрации и истирания [3–5].

В настоящее время для достижения целевых значений эксплуатационных характеристик защитных покрытий целесообразно применение концепции многослойных покрытий, где каждый слой выполняет необходимую функцию. Результаты мировых исследований показывают, что ряд основных проблем, связанных с выбором исходных материалов покрытия (оксид циркония, стабилизированный оксидом редкоземельных металлов; оксиды тугоплавких металлов; муллит, кордиерит; алюмосиликаты стронция и бария; силикаты редкоземельных металлов), оптимизацией и разработкой новых методов их получения и нанесения, до сих пор полностью не решен [6–16]. В основном при высокотемпературных испытаниях защитных покрытий данные недостатки приводят к возникновению различных дефектов и термических напряжений как внутри покрытия, так и на границе раздела «подложка–покрытие», а следовательно, к образованию трещин и расслоению и далее к полному разрушению покрытия в процессе эксплуатации.

В настоящее время разрабатываемые покрытия нового поколения должны обладать как свойствами, характерными для термобарьерных покрытий, так и для антиокислительных покрытий, стабильных в условиях окислительной среды в течение длительного времени (более 20000 ч) при температуре до 1500°C.

Прекурсоры иттрийсиликатной и иттрийалюмосиликатной систем акцентируют на себе внимание благодаря их основным фазам: силикатам иттрия  $Y_2SiO_5$  ( $X_1$  и  $X_2$ ) и  $Y_2Si_2O_7$  ( $\alpha$ ,  $\delta$ ,  $\beta$ ,  $\gamma$  и др.), муллиту  $3Al_2O_3 \cdot 2SiO_2$  и иттрийалюминиевому гранату  $Y_3Al_5O_{12}$ , которые обладают высокими значениями необходимых свойств [8, 9, 13–20].

Целью данной работы являются разработка высокотемпературного покрытия на основе прекурсоров иттрийсиликатной и иттрийалюмосили-

катной систем для карбидокремниевого материала и исследование его защитного действия в условиях воздействия окислительной атмосферы при температуре до 1500°C.

Работа выполнена в рамках реализации комплексной научной проблемы 14.1. «Конструкционные керамические композиционные материалы (ККМ)» («Стратегические направления развития материалов и технологий их переработки на период до 2030 года») [1].

### Материалы и методы

В данной работе для получения прекурсоров иттрийсиликатной и иттрийалюмосиликатной систем с различным химическим составом, % (мольн.): (11–50)  $Y_2O_3$ +(50–75)  $SiO_2$  ((15,9–30)  $Al_2O_3$  – только для иттрийалюмосиликатной системы), использовали модифицированный твердофазный и золь-гель методы.

При классическом методе получения прекурсоров данных систем – высокотемпературном спекании индивидуальных оксидов – негативной стороной является высокое содержание исходных фаз, что в дальнейшем приводит к нарушению стехиометрического итогового состава, снижению физико-химических и физико-механических свойств.

В данной работе применяли метод, в котором для высоконапорного смешивания и измельчения исходных химически чистых порошков оксидов: иттрия ( $D_{50}=26,4$  мкм), кремния ( $D_{50}=17,3$  мкм), алюминия ( $D_{50}=51,1$  мкм) и циркония ( $D_{50}=32,4$  мкм) в необходимом соотношении – использовали высокоскоростную шаровую мельницу (фирма Retsch, Германия) в условиях мокрого и полумокрого помола с использованием дополнительных хелатирующих агентов в реакционной смеси [21], с проведением последующей термической обработки прекурсоров в течение до 24 ч при температуре до 1400°C.

Для приготовления золей в качестве исходных компонентов использовали шестиводный нитрат иттрия  $Y(NO_3)_3 \cdot 6H_2O$ , девятиводный нитрат алюминия  $Al(NO_3)_3 \cdot 9H_2O$ , пятиводный нитрат циркония  $Zr(NO_3)_4 \cdot 5H_2O$ , тетраэтоксисилан  $Si(OCH_3)_4$  (ТЭОС), дистиллированную воду, абсолютизованный этиловый спирт в качестве растворителя и азотную кислоту в качестве катализатора гидролиза. Для приготовления растворов использовали особо чистые компоненты. Растворы готовили последовательным добавлением водно-спиртовой смеси и ТЭОС к раствору солей нитратов иттрия и алюминия. Низкотемпературную обработку полученных гелей проводили при температуре 70°C. Высушенные гели подвергали кальцинированию, а далее – термообработке в интервале температур 1000–1400°C.

Для нанесения покрытий применяли шликерно-обжиговый метод, который является наиболее широко применяемым и универсальным методом. Для

его осуществления использовали шлиker с гранулометрическим размером частиц до 5 мкм, который стабилизировали в различных растворителях и наносили на подложку ККМ на основе SiC в специальной покрасочной камере. Подложку с нанесенным покрытием подвергали обжигу в электрической печи в среде воздуха или в защитной атмосфере при температуре до 1500°C.

Нанесение покрытий также осуществляли атмосферным плазменным напылением на установке АМТ MP200 (Швейцария), которое представляло собой высокоэнергетический процесс нанесения покрытий с температурой плазмы ~10000 K и скоростью подачи частиц порошка до 450 м/с. Для напыления использовали порошок преимущественно сферической формы со средним размером частиц 72,8 мкм.

Исследование свойств прекурсоров иттрийсиликатной и иттрийалюмосиликатной систем проводили в центре коллективного пользования ФГУП «ВИАМ» с помощью метода рентгенофазового анализа (анализатор компании Empyrean PANalytical (Нидерланды) при Cu K<sub>α</sub>-излучении), электронной микроскопии (микроскоп Verios 460 XHR (Нидерланды) с приставками для рентгеноспектрального микроанализа и анализа дифракции отраженных электронов), дилатометрии и термогравиметрического анализа (фирма Netzsch, Германия), а также лазерного анализатора размера частиц (фирма Fritsch, Германия).

Исследование жаростойкости высокотемпературных покрытий в диапазоне температур 20–1500°C проводили в высокотемпературных камерных печах (СНОЛ). При исследовании предполагается контролировать изменение массы –  $\Delta m/m_0$ , % (по массе),  $\Delta m=m_1-m_0$ , где  $m_0$  – масса исходного образца;  $m_1$  – масса образца после испытания в высокотемпературной печи.

### Результаты и обсуждение

Выбирая оптимальные составы защитных покрытий, позволяющие снизить негативное воздействие окислительной атмосферы и паров воды, в частности, на подложке из ККМ на основе SiC, необходимо учитывать следующее:

- значения температурного коэффициента линейного расширения (ТКЛР) покрытия должны быть приближены к значениям ТКЛР подложки и/или нижнего слоя ( $\alpha \approx (40-65) \cdot 10^{-7} \text{ K}^{-1}$ ), что необходимо для снижения вероятности растрескивания или расслоения покрытия при нагреве и охлаждении с высокой скоростью в широком температурном диапазоне;
- прекурсоры покрытия должны быть стабильными и химически совместимыми во всем рабочем диапазоне температур, чтобы между ними, слоями покрытия или подложкой не образовывались побочные продукты;
- толщина защитного покрытия должна составлять 100–250 мкм;

– скорость деструкции защитного слоя должна составлять не более 6–14 мкм на 1000 ч [3, 17].

Диаграмма состояния бинарной системы Y<sub>2</sub>O<sub>3</sub>–SiO<sub>2</sub> показана на рис. 1, *a* [22]. В данной системе известны три двойных соединения иттрия: оксиортосиликат Y<sub>2</sub>O<sub>3</sub>·SiO<sub>2</sub>, ортосиликат 2Y<sub>2</sub>O<sub>3</sub>·3SiO<sub>2</sub> и пиросиликат Y<sub>2</sub>O<sub>3</sub>·2SiO<sub>2</sub>. Основными фазами данной системы являются Y<sub>2</sub>SiO<sub>5</sub> (плавится конгруэнтно при 1980°C) и δ-Y<sub>2</sub>Si<sub>2</sub>O<sub>7</sub> (плавится инконгруэнтно при ~1790°C). Соединение 2Y<sub>2</sub>O<sub>3</sub>·3SiO<sub>2</sub> устойчиво в температурной области 1350–1650°C. При 1650°C это соединение претерпевает распад с образованием смеси двух соединений: Y<sub>2</sub>O<sub>3</sub>·SiO<sub>2</sub> и Y<sub>2</sub>O<sub>3</sub>·2SiO<sub>2</sub>, причем указанный процесс является обратимым [23–25].

Высокотемпературная фаза ( $X_2$ -фаза) силиката иттрия (Y<sub>2</sub>SiO<sub>5</sub>) обладает рядом преимуществ: высокой эрозионной стойкостью и пониженной кислородной проходимостью при высоких температурах, что дает возможность использовать соединения Y<sub>2</sub>SiO<sub>5</sub> в защитных покрытиях для ККМ SiC. Однако ТКЛР у Y<sub>2</sub>SiO<sub>5</sub> выше ( $\alpha \approx (50-77) \cdot 10^{-7} \text{ K}^{-1}$ ), чем у карбида кремния ( $\alpha \approx (40-55) \cdot 10^{-7} \text{ K}^{-1}$ ), поэтому и высока вероятность возникновения микротрещин вдоль границ раздела фаз. В связи с этим необходимо высокое процентное содержание Y<sub>2</sub>Si<sub>2</sub>O<sub>7</sub> ( $\alpha \approx (35-50) \cdot 10^{-7} \text{ K}^{-1}$ ) в покрытиях для максимального приближения к значениям ТКЛР соединения SiC и обеспечения стабильности при термическом воздействии.

Поскольку Y<sub>2</sub>Si<sub>2</sub>O<sub>7</sub> является тугоплавким соединением, то оно устойчиво в окислительной атмосфере. Из шести полиморфных модификаций соединение γ-Y<sub>2</sub>Si<sub>2</sub>O<sub>7</sub> является высокотемпературной фазой, устойчивой в области температур 1445–1535°C, имеет низкие значения ТКЛР ( $39 \cdot 10^{-7} \text{ K}^{-1}$  в интервале температур 200–1300°C) и теплопроводности (<3,0 Вт/(м·К) при температуре >300°C) [24].

Высокая температура плавления, низкая кислородная проницаемость, значения ТКЛР, близкие к значениям ТКЛР карбида кремния, – все это делает силикаты иттрия превосходными компонентами для защиты материалов на основе карбива кремния от воздействия высоких температур в окислительной атмосфере [23].

Диаграмма состояния системы Y<sub>2</sub>O<sub>3</sub>–Al<sub>2</sub>O<sub>3</sub>–SiO<sub>2</sub> (рис. 1, *b*) состоит из 11 полей устойчивости следующих фаз: I – области двух стекол; II – кристобалита; III – диорто-(пиро)силиката иттрия (Y<sub>2</sub>O<sub>3</sub>·2SiO<sub>2</sub>); IV – ортосиликата иттрия (2Y<sub>2</sub>O<sub>3</sub>·3SiO<sub>2</sub>); V – оксиортосиликата иттрия (Y<sub>2</sub>O<sub>3</sub>·SiO<sub>2</sub>); VI – оксида иттрия (Y<sub>2</sub>O<sub>3</sub>); VII – алюмината иттрия (2Y<sub>2</sub>O<sub>3</sub>·Al<sub>2</sub>O<sub>3</sub>); VIII – соединения типа перовскита (Y<sub>2</sub>O<sub>3</sub>·Al<sub>2</sub>O<sub>3</sub>); IX – соединения типа граната (3Y<sub>2</sub>O<sub>3</sub>·5Al<sub>2</sub>O<sub>3</sub>); X – корунда; XI – муллита (3Al<sub>2</sub>O<sub>3</sub>·2SiO<sub>2</sub>). Тройных соединений в данной системе пока не обнаружено, эвтектическая температура составляет 1370–1387°C [22]. На диаграмме состояния иттрийалюмосиликатной системы установлено восемь тройных точек, две из которых являются эвтектическими и шесть – реакционными.

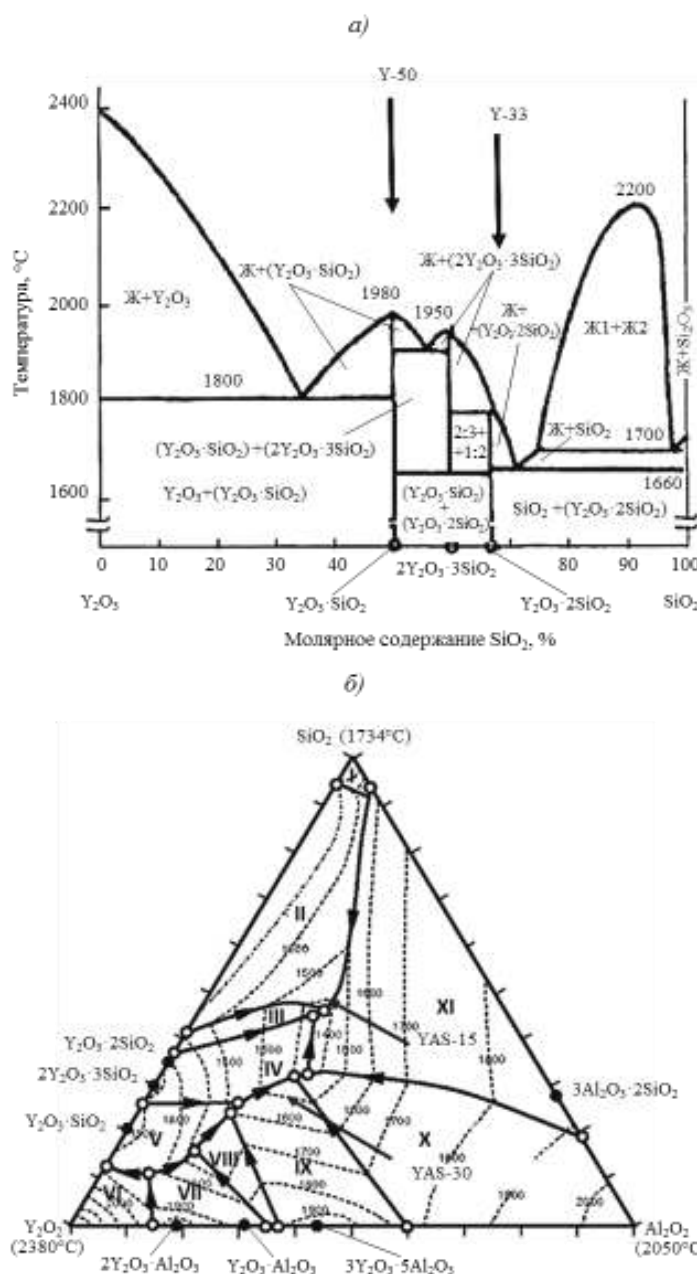


Рис. 1. Диаграммы состояния иттрийсиликатной  $\text{Y}_2\text{O}_3-\text{SiO}_2$  (а) и иттрийалюмосиликатной  $\text{Y}_2-\text{Al}_2\text{O}_3-\text{SiO}_2$  систем (б) [22]

Золь-гель и модифицированным твердофазным методами получен ряд составов иттрийалюмосиликатной и иттрийсиликатной систем (табл. 1).

Фазовые превращения прекурсоров в температурном диапазоне от 900 до 1400°C изучали с помощью рентгенофазового анализа (РФА), их результаты представлены в табл. 2.

Для составов, полученных золь-гель методом, начало кристаллизации отмечено при температуре 900°C. Низкотемпературная фаза дисиликата иттрия  $\alpha\text{-Y}_2\text{Si}_2\text{O}_7$  переходит в высокотемпературную  $\delta\text{-Y}_2\text{Si}_2\text{O}_7$  при температуре ~1100°C, а низкотемпературная фаза оксиортосиликата иттрия

$X_1\text{-Y}_2\text{SiO}_5$  переходит в высокотемпературную  $X_2\text{-Y}_2\text{SiO}_5$  при температуре 1200°C. Следует отметить, что, по литературным данным, при традиционном способе получения путем твердофазового спекания оксидов эти кристаллические фазы образуются в интервале температур 1400–1600°C. Кроме того, при твердофазовом спекании на дифрактограммах термообработанных образцов всегда присутствуют рефлексы оксида иттрия, даже в составах с содержанием 67% (мольн.)  $\text{SiO}_2$  не обеспечивается полнота протекания реакции взаимодействия.

Для составов, полученных модифицированным твердофазным методом, процесс кристаллизации

*Таблица 1*

**Исследуемые составы систем  $\text{Y}_2\text{O}_3\text{-SiO}_2$  и  $\text{Y}_2\text{O}_3\text{-Al}_2\text{O}_3\text{-SiO}_2$**

Обозначение прекурсора	Содержание соединения, % (мольн.)		
	$\text{Y}_2\text{O}_3$	$\text{Al}_2\text{O}_3$	$\text{SiO}_2$
Y-33	33	—	67
Y-50	50	—	50
Y-50Z	47,5	5 ( $\text{ZrO}_2$ )	47,5
YAS-15	11,1	15,92	72,98
YAS-30	20	30	50

*Таблица 2*

**Характер кристаллизации систем  $\text{Y}_2\text{O}_3\text{-SiO}_2$  и  $\text{Y}_2\text{O}_3\text{-Al}_2\text{O}_3\text{-SiO}_2$  при термообработке в интервале температур 900–1400°С**

Температура термообработки, °C	Фазовый состав прекурсоров				
	Y-33	Y-50	Y-50Z	YAS-15	YAS-30
Золь-гель метод					
900	$\alpha\text{-Y}_2\text{Si}_2\text{O}_7$ + +аморфная фаза	$X_1\text{-Y}_2\text{SiO}_5$ + +аморфная фаза	$X_1\text{-Y}_2\text{SiO}_5$ + + $\text{ZrO}_2$ + +аморфная фаза	$\alpha\text{-Y}_2\text{Si}_2\text{O}_7$ + +аморфная фаза	$X_1\text{-Y}_2\text{SiO}_5$ + +аморфная фаза
1000	$\alpha\text{-Y}_2\text{Si}_2\text{O}_7$ + +аморфная фаза	$X_1\text{-Y}_2\text{SiO}_5$ + +аморфная фаза	$X_1\text{-Y}_2\text{SiO}_5$ + + $\text{ZrO}_2$ + +аморфная фаза	$\alpha\text{-Y}_2\text{Si}_2\text{O}_7$ + + $X_1\text{-Y}_2\text{SiO}_5$ + +аморфная фаза	$\alpha\text{-Y}_2\text{Si}_2\text{O}_7$ + + $X_1\text{-Y}_2\text{SiO}_5$ + +аморфная фаза
1100	$\delta\text{-Y}_2\text{Si}_2\text{O}_7$ + +аморфная фаза	$X_1\text{-Y}_2\text{SiO}_5$ + +аморфная фаза	$X_1\text{-Y}_2\text{SiO}_5$ + + $\text{ZrO}_2$ + +аморфная фаза	$\delta\text{-Y}_2\text{Si}_2\text{O}_7$ + + $X_1\text{-Y}_2\text{SiO}_5$ + +аморфная фаза	$\delta\text{-Y}_2\text{Si}_2\text{O}_7$ + + $X_1\text{-Y}_2\text{SiO}_5$ + +аморфная фаза
1200	$\delta\text{-Y}_2\text{Si}_2\text{O}_7$	$X_2\text{-Y}_2\text{SiO}_5$	$X_2\text{-Y}_2\text{SiO}_5$ + + $\text{ZrO}_2$	$\delta\text{-Y}_2\text{Si}_2\text{O}_7$ + + $X_2\text{-Y}_2\text{SiO}_5$	$\delta\text{-Y}_2\text{Si}_2\text{O}_7$ + + $X_2\text{-Y}_2\text{SiO}_5$
1300	$\delta\text{-Y}_2\text{Si}_2\text{O}_7$	$X_2\text{-Y}_2\text{SiO}_5$	$X_2\text{-Y}_2\text{SiO}_5$ + + $\text{ZrO}_2$	Муллит+ + $\delta\text{-Y}_2\text{Si}_2\text{O}_7$ + + $X_2\text{-Y}_2\text{SiO}_5$	$\delta\text{-Y}_2\text{Si}_2\text{O}_7$ + + $\text{Y}_3\text{Al}_5\text{O}_{12}$ + + $X_2\text{-Y}_2\text{SiO}_5$
Модифицированный твердофазный метод					
900	$\alpha\text{-Y}_2\text{Si}_2\text{O}_7$ + +аморфная фаза	$X_1\text{-Y}_2\text{SiO}_5$ + +аморфная фаза	$X_1\text{-Y}_2\text{SiO}_5$ + + $\text{ZrO}_2$ + +аморфная фаза	Аморфная фаза	
1000	$\alpha\text{-Y}_2\text{Si}_2\text{O}_7$ + +аморфная фаза	$X_1\text{-Y}_2\text{SiO}_5$ + +аморфная фаза	$X_1\text{-Y}_2\text{SiO}_5$ + + $\text{ZrO}_2$ + +аморфная фаза	$\alpha\text{-Y}_2\text{Si}_2\text{O}_7$ + +аморфная фаза	$X_1\text{-Y}_2\text{SiO}_5$ + +аморфная фаза
1100	$\alpha\text{-Y}_2\text{Si}_2\text{O}_7$ + +аморфная фаза	$X_1\text{-Y}_2\text{SiO}_5$ + +аморфная фаза	$X_1\text{-Y}_2\text{SiO}_5$ + + $\text{ZrO}_2$ + аморфная фаза	$\alpha\text{-Y}_2\text{Si}_2\text{O}_7$ + + $X_1\text{-Y}_2\text{SiO}_5$ + +аморфная фаза	$\alpha\text{-Y}_2\text{Si}_2\text{O}_7$ + + $X_1\text{-Y}_2\text{SiO}_5$ + +аморфная фаза
1200	$\alpha\text{-Y}_2\text{Si}_2\text{O}_7$ + + $\beta\text{-Y}_2\text{Si}_2\text{O}_7$ + +аморфная фаза	$X_1\text{-Y}_2\text{SiO}_5$ + +аморфная фаза	$X_1\text{-Y}_2\text{SiO}_5$ + + $\text{ZrO}_2$ + +аморфная фаза	$\alpha\text{-Y}_2\text{Si}_2\text{O}_7$ + + $\beta\text{-Y}_2\text{Si}_2\text{O}_7$ + + $X_1\text{-Y}_2\text{SiO}_5$ + +аморфная фаза	$\alpha\text{-Y}_2\text{Si}_2\text{O}_7$ + + $\beta\text{-Y}_2\text{Si}_2\text{O}_7$ + + $X_1\text{-Y}_2\text{SiO}_5$ + +аморфная фаза
1300	$\beta\text{-Y}_2\text{Si}_2\text{O}_7$ + + $\delta\text{-Y}_2\text{Si}_2\text{O}_7$	$X_1\text{-Y}_2\text{SiO}_5$ + + $X_2\text{-Y}_2\text{SiO}_5$	$X_1\text{-Y}_2\text{SiO}_5$ + + $X_2\text{-Y}_2\text{SiO}_5$ + + $\text{ZrO}_2$	$\beta\text{-Y}_2\text{Si}_2\text{O}_7$ + + $\delta\text{-Y}_2\text{Si}_2\text{O}_7$ + + $X_2\text{-Y}_2\text{SiO}_5$	$\beta\text{-Y}_2\text{Si}_2\text{O}_7$ + + $\delta\text{-Y}_2\text{Si}_2\text{O}_7$ + + $X_2\text{-Y}_2\text{SiO}_5$
1400	$\delta\text{-Y}_2\text{Si}_2\text{O}_7$	$X_2\text{-Y}_2\text{SiO}_5$	$X_2\text{-Y}_2\text{SiO}_5$ + + $\text{ZrO}_2$	Муллит+ + $\delta\text{-Y}_2\text{Si}_2\text{O}_7$ + + $X_2\text{-Y}_2\text{SiO}_5$ (1350°C)	$\delta\text{-Y}_2\text{Si}_2\text{O}_7$ + + $\text{Y}_3\text{Al}_5\text{O}_{12}$ + + $X_2\text{-Y}_2\text{SiO}_5$ (1350°C)

начинается при температуре 900°C для прекурсоров Y-33 и Y-50 со стехиометрическими составами  $Y_2Si_2O_7$  и  $Y_2SiO_5$  соответственно. После термообработки прекурсоров при 900°C в течение 5 ч структура остальных образцов (YAS-15 и YAS-30) в основном рентгеноаморфна, кристаллическая фаза присутствовала в них в незначительном количестве. При увеличении температуры термообработки до 1000°C содержание аморфной фазы в большинстве образцов резко снижалось, это подтверждалось значительным сокращением на дифрактограммах диффузной области и появлением четких интенсивных линий, соответствующих кристаллических фаз.

При этом для всех составов в интервале температур от 900 до 1400°C проходило изменение полиморфных модификаций дисиликата иттрия – от  $\alpha$ - $Y_2Si_2O_7$  до  $\delta$ - $Y_2Si_2O_7$  через  $\beta$ - $Y_2Si_2O_7$ , что не наблюдалось в прекурсорах, полученных золь-гель методом.

После термообработки при 1400°C в течение 5 ч для состава, содержащего 33% (мольн.)  $Y_2O_3$  (стехиометрический состав дисиликата иттрия), образовывался однофазный продукт, состоявший из  $\delta$ - $Y_2Si_2O_7$  (ASTM №45-0043). При максимальном содержании 50% (мольн.)  $Y_2O_3$  (стехиометрический состав оксиортосиликата иттрия) в области температур >900°C образовывалась низкотемпературная модификация  $X_1$ - $Y_2SiO_5$  (ASTM №21-1456), которая в интервале температур 1300–1400°C переходила в доминирующую высокотемпературную модификацию  $X_2$ - $Y_2SiO_5$  (ASTM №21-1458).

Однако одним из недостатков применяемого твердофазного метода являлось то, что в полученных итоговых образцах после термообработки при 1400°C в течение 5 ч присутствовала фаза исходного оксида иттрия (<0,73% (по массе) – по методу Ритвельда) даже в составах, содержащих 50% (мольн.)  $SiO_2$ . Для нивелирования данного недостатка предложено увеличить продолжительность термообработки прекурсоров до 24 ч при 1400°C. Однако значительного положительного эффекта не обнаружено (содержание фазы оксида

иттрия ~0,51% (по массе) – по методу Ритвельда) в связи с низкой скоростью диффузии, при этом зафиксирован рост кристаллитов.

Для определения ТКЛР составов систем  $Y_2O_3$ – $SiO_2$  и  $Y_2O_3$ – $Al_2O_3$ – $SiO_2$  порошки, полученные модифицированным твердофазным и золь-гель методами, измельчали в высокоскоростной шаровой мельнице до среднего размера частиц 1,34 и 2,27 мкм соответственно (рис. 2). Далее порошки спрессовывали на гидравлическом прессе при давлении 100 МПа в штабики с размером сечения 40×6 мм. В качестве связки использовали поливиниловый спирт в количестве 0,1% (по массе). После прессования образцы, полученные модифицированным твердофазным методом, сушили до постоянной массы, затем проводили их термообработку при 1400°C (1350°C – для YAS-15 и YAS-30) в течение 1 ч. Образцы, полученные золь-гель методом, сушили до постоянной массы, затем проводили их термообработку при 1300°C в течение 1 ч.

Значения ТКЛР составов иттрийсиликатной и иттрийалюмосиликатной систем находились в диапазоне от  $42,4 \cdot 10^{-7}$  до  $60,3 \cdot 10^{-7} \text{ K}^{-1}$  для составов, полученных золь-гель методом, и от  $49,6 \cdot 10^{-7}$  до  $62,7 \cdot 10^{-7} \text{ K}^{-1}$  для составов, полученных модифицированным твердофазным методом (табл. 3), что коррелирует с литературными данными. Повышенные значения ТКЛР составов иттрийсиликатной и иттрийалюмосиликатной систем, полученные модифицированным твердофазным методом, связаны с наличием примесей исходных компонентов (до 0,51% (по массе) – по методу Ритвельда).

На растровом электронном микроскопе исследовали морфологию поверхности спрессованных в штабики образцов (рис. 3). Установлено, что для всех представленных составов иттрийсиликатной и иттрийалюмосиликатной систем, полученных модифицированным твердофазным методом, характерна сплошная поверхность, размер зерен 60 мкм. На поверхности образцов также наблюдались поры с размером 8–12 мкм. Для составов

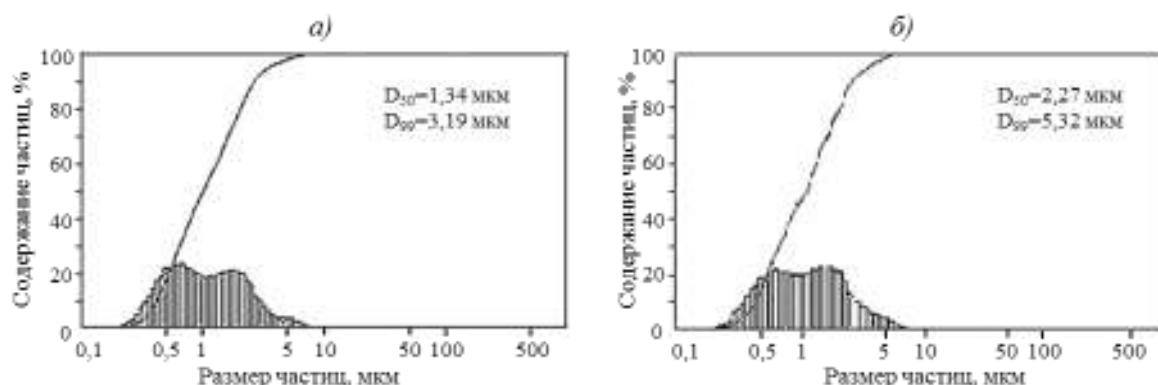


Рис. 2. Гранулометрический состав порошков, полученных золь-гель (а) и модифицированным твердофазным методами (б)

Таблица 3

**Фазовый состав и значения  
температурного коэффициента линейного расширения (ТКЛР) спеченных образцов**

Обозначение прекурсора	Кристаллические фазы	ТКЛР: $\alpha \cdot 10^7$ , К <sup>-1</sup> , при температуре 200–1300 (1400)°С
Золь-гель метод		
Y-33	$\delta\text{-Y}_2\text{Si}_2\text{O}_7$	42,4
Y-50	$X_2\text{-Y}_2\text{SiO}_5$	54,8
Y-50Z	$X_2\text{-Y}_2\text{SiO}_5+\text{ZrO}_2$	60,3
YAS-15	Муллит+ $\delta\text{-Y}_2\text{Si}_2\text{O}_7+X_2\text{-Y}_2\text{SiO}_5$	49,7
YAS-30	$\delta\text{-Y}_2\text{Si}_2\text{O}_7+\text{Y}_3\text{Al}_5\text{O}_{12}+X_2\text{-Y}_2\text{SiO}_5$	53,1
Модифицированный твердофазный метод		
Y-33	$\delta\text{-Y}_2\text{Si}_2\text{O}_7$	49,6
Y-50	$X_2\text{-Y}_2\text{SiO}_5$	58,3
Y-50Z	$X_2\text{-Y}_2\text{SiO}_5+\text{ZrO}_2$	62,7
YAS-15	Муллит+ $\delta\text{-Y}_2\text{Si}_2\text{O}_7+X_2\text{-Y}_2\text{SiO}_5$	52,3
YAS-30	$\delta\text{-Y}_2\text{Si}_2\text{O}_7+\text{Y}_3\text{Al}_5\text{O}_{12}+X_2\text{-Y}_2\text{SiO}_5$	55,7

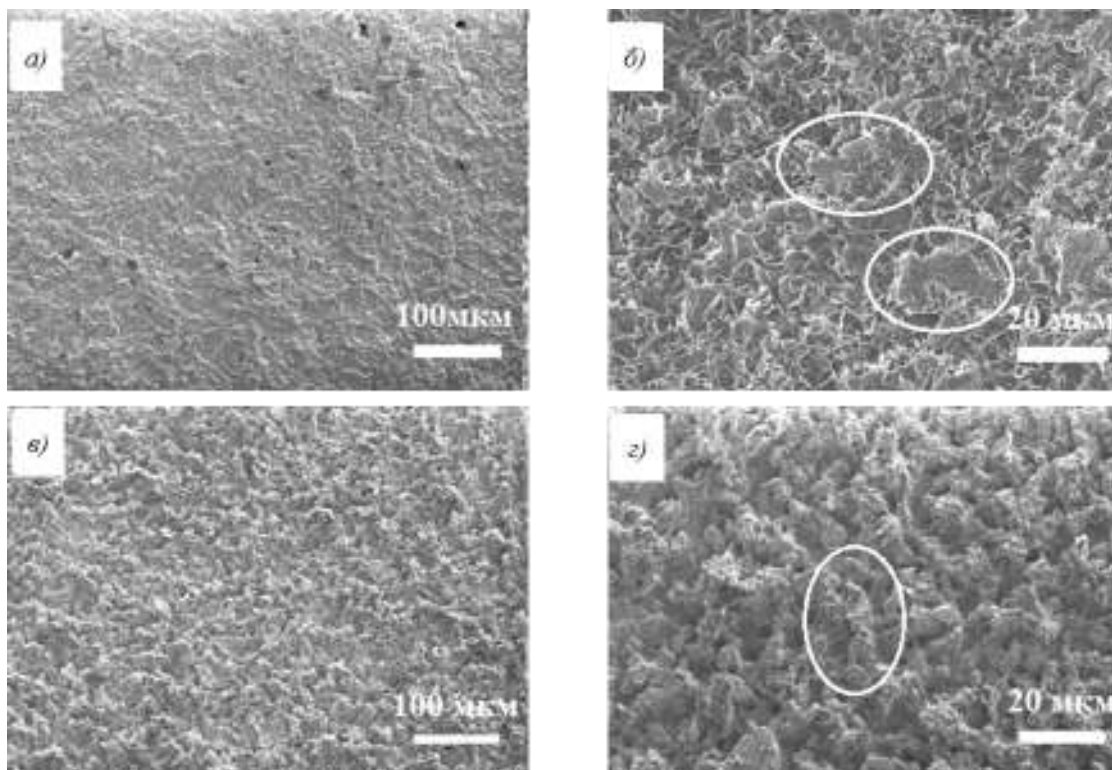


Рис. 3. Микрофотографии поверхности штабиков из порошка иттрийсиликатной и иттрийалюмосиликатной систем, полученного модифицированным твердофазным (а, б) и золь-гель методами (в, г)

иттрийсиликатной и иттрийалюмосиликатной систем, полученных золь-гель методом, характерна игольчатая структура, при этом размер одной «иглы», состоящей из наноразмерных кристаллитов, достигал 14–16 мкм в диаметре.

На основании полученных результатов предложены составы покрытий (табл. 4). С целью предотвращения растрескивания покрытия в ходе

термического циклирования, состав слоев покрытия подбирали из расчета  $\pm 10\%$  относительно значения ТКЛР нижнего слоя или подложки на основе ККМ SiC.

Шликерным методом и атмосферно-плазменным напылением нанесены покрытия в соответствии с данными табл. 4 и произведен их обжиг при температуре 1550°C в течение 1 ч с

Составы покрытий

Таблица 4

Условный номер покрытия	Состав покрытия с прекурсором				
	Y-33	YAS-15	YAS-30	Y-50	Y-50Z
1	1 слой (15–20 мкм)	2 слой (25–30 мкм)	3 слой (25–30 мкм)	4 слой (65–70 мкм)	—
2	1 слой (15–20 мкм)	2 слой (25–30 мкм)	—	3 слой (25–30 мкм)	4 слой (65–70 мкм)
3	1 слой (15–20 мкм)	—	2 слой (25–30 мкм)	3 слой (25–30 мкм)	4 слой (65–70 мкм)

целью достижения равномерного однородного покрытия. Известно, что при нанесении покрытий атмосферно-плазменным напылением значение пористости покрытия достигает 15%. Это приводит к дополнительному снижению окислительной стойкости покрытия при эксплуатации при повышенных температурах. С целью нивелирования данного эффекта предложено последним слоем покрытия (четвертым) наносить суспензию высокодисперсного порошка шликерным методом (рис. 4).

В результате исследования микроструктуры образцов установлено (рис. 5), что на покрытиях 1 и 3 отчетливо наблюдались поры и трещины. Вероятно, образование трещин и расслоение в объеме покрытий происходили из-за локальных напряжений в покрытии, вызванных наличием фазы алюмоиттриевого граната в прекурсоре YAS-30 (ТКЛР:  $\alpha=82 \cdot 10^{-7} \text{ K}^{-1}$ ). Более того, избыточная фаза дисиликата иттрия в прекурсоре YAS-30,

которая имеет тенденцию к трещинообразованию при работе и во время термического циклирования, склонна к выщелачиванию  $\text{SiO}_2$  и разрушению поверхности посредством химического взаимодействия с окислительной средой. Такое выщелачивание создает микропористую структуру в покрытии, и изначально плотное покрытие преобразуется в пористый слой раньше требуемого срока его службы (рис. 5, *a*, *b*).

На поверхности покрытия 2 наблюдалось минимальное количество пор и микротрещин. По микрофотографии покрытия 2 (рис. 5, *b*) можно сделать предположение, что благодаря оптимально выбранным фазовому составу (т. е. согласованнию значений ТКЛР каждого слоя многослойного покрытия) и толщине каждого слоя покрытия оно является подходящим для исследования характера воздействия окислительной атмосферы при температуре 1500°C в течение длительного времени.

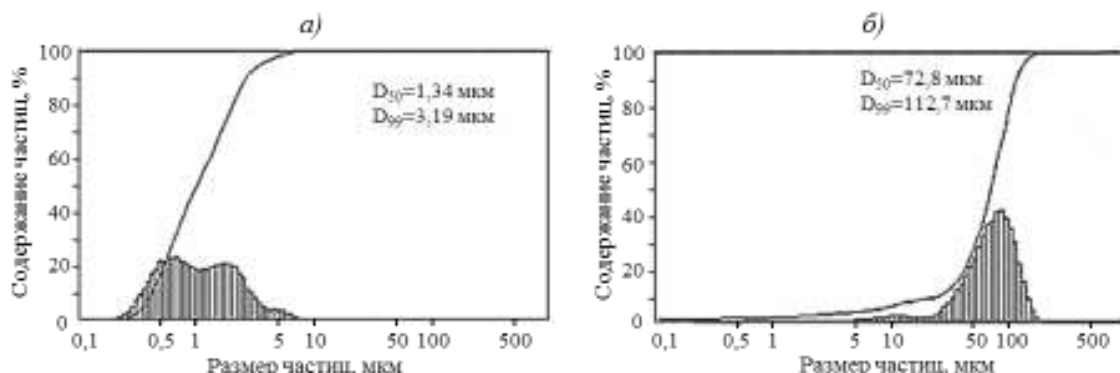


Рис. 4. Гранулометрический состав прекурсоров систем  $\text{Y}_2\text{O}_3-\text{SiO}_2$  и  $\text{Y}_2\text{O}_3-\text{Al}_2\text{O}_3-\text{SiO}_2$ , полученных модифицированным твердофазным (*а*) и золь-гель методами (*б*)

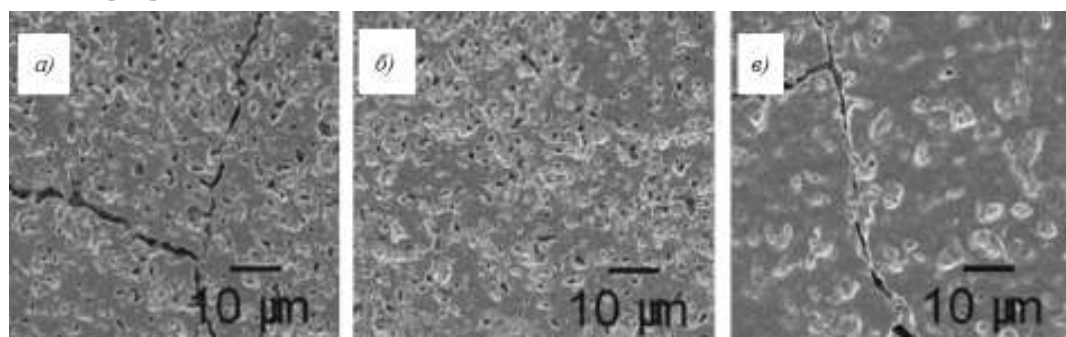


Рис. 5. Микрофотографии поверхности покрытий (см. табл. 4): 1 (а), 2 (б) и 3 (в)

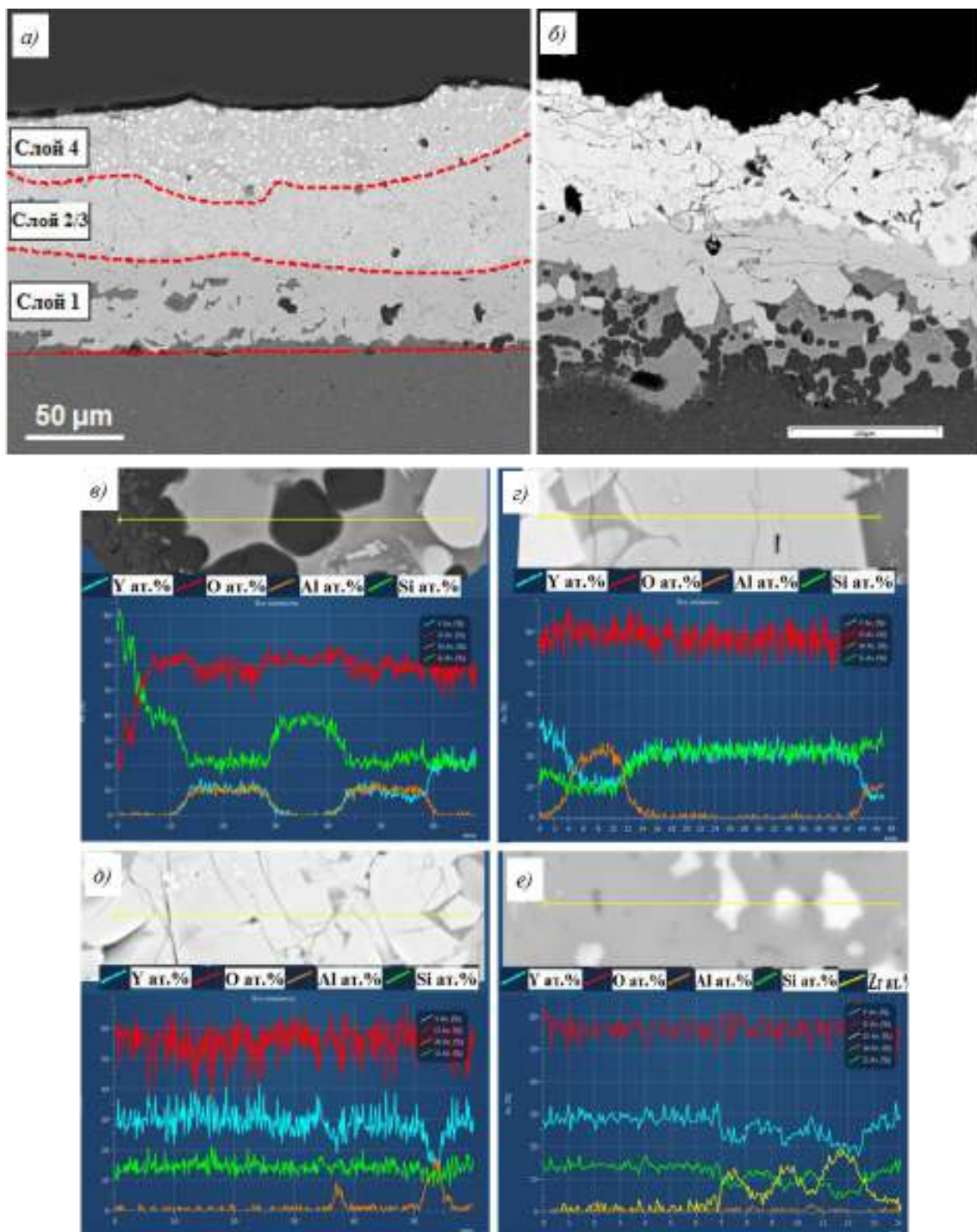


Рис. 6. Микрофотографии покрытия 2 (см. табл. 4) после формирования на керамическом композиционном материале SiC (а), после воздействия температуры 1500°C в течение 100 ч (б); результаты РСМА (вдоль линии) после воздействия температуры 1500°C в течение 100 ч: нижний слой (в), нижняя часть среднего слоя (г), верхняя часть среднего слоя (д), верхний слой (е)

Методом рентгеноспектрального микроанализа (РСМА) удалось установить химический состав каждого слоя покрытия 2 (рис. 6, а). Основой нижнего слоя (толщина ~55 мкм) являлся дисиликат иттрия  $\text{Y}_2\text{Si}_2\text{O}_7$  с небольшими примесями иттрия, алюминия и кремния – до 5% (атомн.). Раз-

меры продолговатых зерен дисиликата иттрия не превышали 40 мкм. Наблюдались также мелкие светлые включения в зернах дисиликата иттрия, которые являлись зародышами моносиликата иттрия  $\text{Y}_2\text{SiO}_5$ . Нижняя часть среднего слоя (толщина ~20 мкм) представляла собой плотно

Таблица 5

## Результаты исследования жаростойкости покрытия 2 при температуре 1500°C в окислительной атмосфере

Продолжительность воздействия, ч	5	10	20	30	40	50	60	70	80	90	100
Потеря массы относительно исходной, %	0,04	0,06	0,09	0,14	0,17	0,22	0,28	0,43	0,46	0,50	0,52

расположенные зерна муллита (средний состав  $\text{Al}_6\text{Si}_2\text{O}_{13}$ ), а в прослойках между ними находились области дисиликата иттрия  $\text{Y}_2\text{Si}_2\text{O}_7$ . Верхняя часть среднего слоя (толщина ~20 мкм) обогащена зернами моносиликата иттрия  $\text{Y}_2\text{SiO}_5$ , при этом в прослойках между ними находились области дисиликата иттрия  $\text{Y}_2\text{Si}_2\text{O}_7$ . Верхний слой (толщина ~70 мкм) также являлся гетерофазным, основные фазы – дисиликат иттрия  $\text{Y}_2\text{Si}_2\text{O}_7$ , моносиликат иттрия  $\text{Y}_2\text{SiO}_5$  (размер кристаллитов не превышал 10 мкм) и оксид циркония (размер кристаллитов не превышал 2,3 мкм). Помимо этого в слое присутствовали тонкие трещины, проходившие через обе фазы. Доля зерен моносиликата иттрия превышала 90% (по массе).

На рис. 6, б представлена микрофотография шлифа покрытия 2 после испытания на жаростойкость при температуре 1500°C в течение 100 ч. На снимке с общим видом покрытия отчетливо различаются три слоя: верхний, средний и нижний пористый слой, граничащий с керамической подложкой.

Методом РСМА удалось установить химический состав каждого слоя покрытия (рис. 6, в–е). Основой нижнего слоя (толщина от 30 до 100 мкм) являются дисиликат иттрия  $\text{Y}_2\text{Si}_2\text{O}_7$  и алюмосиликат иттрия со средним составом  $\text{Y}_2\text{AlSi}_4\text{O}_{13}$ . При этом наблюдалось образование оксида кремния, размер зерен которого достигал 20 мкм, особенно данные зерна локализовались на границе «подложка–покрытие». В связи с разложением дисиликата иттрия также наблюдались дендритообразные участки, относившиеся к фазе оксида иттрия. Средний слой толщиной 20–50 мкм представлен плотно расположенным зернами муллита и дисиликата иттрия. Однако в образовавшихся пустотах и прослойках между зернами муллита находились области, обогащенные фазой дисиликата

иттрия  $\text{Y}_2\text{Si}_2\text{O}_7$ . При этом в данной области происходило частичное разложение дисиликата иттрия с образованием оксида кремния и оксида иттрия, а также мелких зерен моносиликата иттрия с размером до 1,5 мкм. Верхний слой (толщина ~70 мкм) характеризовался тремя основными фазами: дисиликатом иттрия  $\text{Y}_2\text{Si}_2\text{O}_7$ , моносиликатом иттрия  $\text{Y}_2\text{SiO}_5$  и оксидом циркония (размер кристаллитов не превышал 2,7 мкм). Однако размер областей, обогащенных дисиликатом иттрия, значительно увеличился и достигал 30 мкм. Это привело к образованию пор и трещин в верхнем слое покрытия. Доля зерен моносиликата иттрия снизилась до 83% (по массе).

При испытании на жаростойкость при 1500°C в окислительной среде наблюдалась постепенная потеря массы образца с покрытием 2 (с габаритными размерами 50×50 мм), после 100 ч воздействия температуры в данных условиях потеря массы его составила ~0,52% (табл. 5). При этом резкое изменение массы образца с покрытием в ходе испытания наблюдалось в интервале от 60 до 70 ч температурного воздействия, потеря массы составила 0,15% относительно исходного значения.

## Заключения

Таким образом, в данной работе показана возможность получения высокотемпературного покрытия на основе иттрийсиликатной и иттриялюмосиликатной систем на карбидокремниевых материалах. Разработанное покрытие 2 обладает наиболее сплошным покрытием с минимальным количеством пор и микротрещин, а также высокой стойкостью к воздействию окислительной атмосферы при температуре до 1500°C, потеря массы образца с покрытием после испытания на жаростойкость в течение 100 ч при 1500°C в окислительной атмосфере составила 0,52%.

## ЛИТЕРАТУРА

- Каблов Е.Н. Инновационные разработки ФГУП «ВИАМ» ГНЦ РФ по реализации «Стратегических направлений развития материалов и технологий их переработки на период до 2030 года» // Авиационные материалы и технологии. 2015. №1 (34). С. 3–33. DOI: 10.18577/2071-9140-2015-0-1-3-33.
- Каблов Е.Н., Щетанов Б.В., Ивахненко Ю.А., Балинова Ю.А. Перспективные армирующие высокотемпературные волокна для металлических и керамических композиционных материалов // Труды ВИАМ: электрон. науч.-технич. журнал. 2013. №2. Ст. 05. URL: <http://www.viam-works.ru> (дата обращения: 02.10.2018).
- Schmidt S., Beyer S., Knabe H. et al. Advanced ceramic matrix composite materials for current and future propulsion technology applications // Acta Astronaut. 2004. Vol. 55. P. 409–420.

4. Dong J.P., Yang J., Kim H.G. et al. Oxidation behavior of silicon carbide at 1200°C in both air and water-vapor-rich environments // Journal Corrosion Science. 2014. Vol. 88. P. 416–422.
5. Kablov E.N., Zhestkov B.E., Grashchenkov D.V., Sorokin O.Yu., Lebedeva Yu.E., Vaganova M.L. Investigation of the Oxidative Resistance of High-Temperature Coating Based on a SiC Material under Exposure to High-Enthalpy Flow // Journal of High Temperature. 2017. Vol. 55. No. 6. P. 857–863.
6. Wang Y.G., Wu Y.H., Cheng L.F., Zhang L.T. Hot corrosion behavior of barium aluminosilicate-coated C/SiC composites at 900°C // Journal of American Ceramic Society. 2009. Vol. 93. P. 204–208.
7. Richards B.T., Sehr S. Foucault de Franqueville, M.R. Begley, H.N. Wadley, Delamination of ytterbium monosilicate/mullite/silicon coated SiC during thermal cycling in water vapor // Journal of Acta Materials. 2016. Vol. 103. P. 448–460.
8. Lee K.N. Protective coatings for gas turbines // The Gas Turbine Handbook. United States Department of Energy (DOE), 2006. P. 419–437.
9. Lee K.N., Fox D.S., Bansal N.P. Rare earth silicate environmental barrier coatings for SiC/SiC composites and  $\text{Si}_3\text{N}_4$  ceramics // Journal of Corrosion Ceramics Matrix Composition. 2005. Vol. 25. P. 1705–1715.
10. Сорокин О.Ю., Гращенков Д.В., Солнцев С.Ст., Евдокимов С.А. Керамические композиционные материалы с высокой окислительной стойкостью для перспективных летательных аппаратов (обзор) // Труды ВИАМ: электрон. науч.-технич. журн. 2014. №6. Ст. 08. URL: <http://www.viam-works.ru> (дата обращения: 21.09.2018). DOI: 10.18577/2307-6046-2014-0-6-8-8.
11. Lee K.N., Fox D.S., Eldridge J.I. et al. Upper temperature limit of environmental barrier coatings based on mullite and BSAS // Journal of American Ceramic Society. 2003. Vol. 86. P. 1299–1306.
12. Каблов Е.Н., Гращенков Д.В., Уварова Н.Е. Исследования методом инфракрасной спектроскопии структурных изменений гелей в процессе термической обработки при получении высокотемпературных стеклокерамических материалов по золь-гель технологии // Авиационные материалы и технологии. 2011. №2. С. 22–25.
13. Каблов Е.Н., Оспенникова О.Г., Вершков А.В. Редкие металлы и редкоземельные элементы – материалы современных и будущих высоких технологий // Труды ВИАМ: электрон. науч.-технич. журнал. 2013. №2. Ст. 01. URL: <http://www.viam-works.ru> (дата обращения: 02.10.2018).
14. Nasiri N.A., Patra N., Horlait D. et al. Thermal properties of rare-earth monosilicates for EBC on Si-based ceramic composites // Journal of American Ceramic Society. 2016. Vol. 99. P. 589–596.
15. Fernandez-Carrion A.J., Allix M., Becerro A.I. Thermal expansion of rare-earth pyrosilicates // Journal of American Ceramic Society. 2013. Vol. 96. P. 2298–2305.
16. Liddell K., Thompson D.P. X-ray diffraction data for yttrium silicates // British Ceramic Transactions. 1986. Vol. 85. P. 17–22.
17. Kolitsch U., Seifert H.J., Ludwig T., Aldinger F. Phase equilibria and crystal chemistry in the  $\text{Y}_2\text{O}_3\text{--Al}_2\text{O}_3\text{--SiO}_2$  system // Journal of Materials Research. 1999. Vol. 14. No. 2. P. 447–455.
18. Lebedeva Yu.E., Popovich N.V., Orlova L.A., Chainikova A.S., Sorokin O.Yu., Vaganova M.L., Grashchenkov D.V. Modifying additives affect the properties of  $\text{Y}_2\text{O}_3\text{--Al}_2\text{O}_3\text{--SiO}_2$  system // Russian Journal of Inorganic Chemistry. 2017. Vol. 62. No. 8. P. 1032–1037.
19. Лебедева Ю.Е., Попович Н.В., Орлова Л.А. Защитные высокотемпературные покрытия для композиционных материалов на основе SiC // Труды ВИАМ: электрон. науч.-технич. журн. 2013. №2. Ст. 06. URL: <http://www.viam-works.ru> (дата обращения: 17.09.2018).
20. Aparicio M., Durán A. Yttrium silicate coatings for oxidation protection of carbon–silicon carbide composites // Journal of American Ceramic Society. 2000. Vol. 83. P. 1351–1355.
21. Воронов В.А., Швецов А.О., Губин С.П. и др. Влияние метода получения катодного материала состава  $\text{LiNi}_{0,33}\text{Mn}_{0,33}\text{Co}_{0,33}\text{O}_2$  на электрохимические характеристики литий-ионного аккумулятора // Журнал неорганической химии. 2016. Т. 61. №9. С. 1211–1217.
22. Торопов И.А., Барзаковский В.П., Удалов Ю.П., Бондарь И.А. Диаграммы состояния силикатных систем: справочник. М.-Л.: Наука, 1965. 258 с.
23. Courcot E., Rebillat F., Teyssandier F., Louchet-Pouillerie C. Thermochemical stability of the  $\text{Y}_2\text{O}_3\text{--SiO}_2$  system // Journal of the European Ceramic Society. 2010. Vol. 30. P. 905–910.
24. Рабухин А.И., Савельев В.Г. Физическая химия тугоплавких неметаллических и силикатных соединений. М: ИНФРА-М, 2008. 296 с.
25. Sun Z., Li M., Zhou Y. Kinetics and Mechanism of Hot Corrosion of  $\gamma\text{-Y}_2\text{Si}_2\text{O}_7$  in Thin-Film  $\text{Na}_2\text{SO}_4$  Molten Salt // Journal of American Ceramic Society. 2008. Vol. 91 (7). P. 2236–2242.